

การทำลายเชื้อเครื่องมือแพทย์ด้วยรังสีแกมมา



เรืออากาศโท ชัยรัตน์ คุณประเสริฐ

วิทยานิพนธ์นี้เป็นส่วนหนึ่งของการศึกษาตามหลักสูตรปริญญาวิทยาศาสตรมหาบัณฑิต

แผนกศึกษานิวเคลียร์เทคโนโลยี

บัณฑิตวิทยาลัย จุฬาลงกรณ์มหาวิทยาลัย

พ.ศ. 2522

000645

GAMMA STERILIZATION OF MEDICAL INSTRUMENTS

Flying-officer Chairat Khoonprasert

A Thesis Submitted in Partial Fulfillment of the Requirements

for the Degree of Master of Engineering

Department of Nuclear Technology

Graduate School


Chulalongkorn University

1979

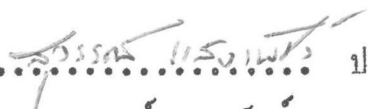
115508250

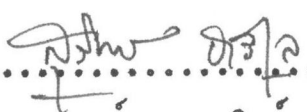
หัวข้อวิทยานิพนธ์ การทำลายเชื้อเครื่องมือแพทย์ด้วยรังสีแกมมา
โดย เรืออากาศโท ชัยรัตน์ คุณประเสริฐ
แผนกวิชา นิวเคลียร์เทคโนโลยี
อาจารย์ที่ปรึกษา อาจารย์ อุษา นาวานุเคราะห์


บัณฑิตวิทยาลัย จุฬาลงกรณ์มหาวิทยาลัย อนุมัติให้หัวข้อวิทยานิพนธ์ฉบับนี้เป็นส่วน
หนึ่งของการศึกษาตามหลักสูตรมหาบัณฑิต


..... คณบดีบัณฑิตวิทยาลัย
(รองศาสตราจารย์ ดร.สุประคิษฐ์ บุนนาค)

คณะกรรมการสอบวิทยานิพนธ์


..... ประธานกรรมการ
(ศาสตราจารย์ ดร.สุวรรณ แสงเพชร)


..... กรรมการ
(รองศาสตราจารย์ น.พ.สุวิทย์ อารีกุล)


..... กรรมการ
(อาจารย์ อุษา นาวานุเคราะห์)

ลิขสิทธิ์ของบัณฑิตวิทยาลัย จุฬาลงกรณ์มหาวิทยาลัย

หัวข้อวิทยานิพนธ์ การทำลายเชื้อเครื่องมือแพทย์ด้วยรังสีแกมมา
ชื่อนิติกร เรืออากาศโท ชัยรัตน์ คุณประเสริฐ
อาจารย์ที่ปรึกษา อาจารย์ คุณนา นาวานุเคราะห์
แผนกวิชา นิวเคลียร์เทคโนโลยี
ปีการศึกษา 2522



บทคัดย่อ

เครื่องมือแพทย์ในการทดลองนี้ หมายถึงเครื่องมือเครื่องใช้ วัสดุ และทุกสิ่ง
ที่ใช้ในการแพทย์ เช่น เข็มฉีดยา สายยางให้เลือด คายเย็บแผล ฝักกอล สำลี เป็นต้น
ในการทดลองนี้เลือกเอาฝักกอลและสำลีเป็นตัวอย่างในการทดลอง โดยใช้ตัวอย่างฝัก
กอลและสำลีย่างละประมาณ 260 ตัวอย่าง นำส่วนหนึ่งมาอบรังสีปริมาณ 0.8, 1.0,
1.2, 1.4, 1.6, และ 2.5 Mrad โดยใช้ตัวอย่าง dose ละประมาณ 40 ตัวอย่าง
อีก 40 ตัวอย่างไม่อบรังสี เพื่อศึกษาจำนวนเชื้อเริ่มต้นและชนิดของเชื้อที่มีในตัวอย่าง
ฝักกอลและสำลีนั้น แล้วนำตัวอย่างทั้งหมดไปเพาะเลี้ยงในอาหาร Tryptic Soy Agar
ของ Difco ศึกษาจำนวนและชนิดของเชื้อในแบบ aerobic, anaerobic bacteria
กับเชื้อรา ในด้านความแตกต่างของจำนวนเชื้อ ชนิดของเชื้อ ว่าจะเหลือมากน้อยเท่าใด
ภายหลังจากอบรังสีกับที่ยังไม่ได้อบรังสี

จากผลการทดลองพบว่า ในจำนวนเชื้อเริ่มต้นมีจำนวนเชื้อมากที่สุด (รวม
aerobic, anaerobic, mould) 66 โคโลนี จำนวนเชื้อกระจายมากสุดในช่วง
61-65 โคโลนีและเฉลี่ยได้เป็น 56.1 โคโลนีต่อหนึ่งตัวอย่าง สำหรับตัวอย่างฝักกอล
ส่วนตัวอย่างสำลีนั้น พบว่าจำนวนเชื้อเริ่มต้นมีจำนวนเชื้อมากที่สุด 63 โคโลนี จำนวนเชื้อ
กระจายมากสุดในช่วง 46-50 โคโลนี และเฉลี่ยได้เป็น 50.7 โคโลนี จากตัวอย่างทั้ง
ฝักกอลและสำลี พบว่า ภายหลังจากอบรังสี 0.8 Mrad แล้วจำนวนเชื้อลดลง และมี

แนวโน้มน้ลดลงเรื่อย ๆ เมื่อใช้ปริมาณรังสีเพิ่มขึ้น จนกระทั่งปริมาณรังสี 1.4 Mrad ยังสามารถเพาะเลี้ยงเชื้อพบได้ เมื่อใช้รังสีถึงปริมาณ 1.6 Mrad ก็ไม่สามารถเพาะเลี้ยงเชื้อพบได้ และที่ปริมาณรังสี 2.5 Mrad ก็ไม่สามารถเพาะเลี้ยงเชื้อพบได้จากการทดลองนี้ จึงสรุปได้ว่าจากตัวอย่างน้ำกอกขและสำลี ที่นำมาทดลองนี้ ไม่พบเชื้อที่มีความต้านทานต่อรังสีเกิน 1.6 Mrad เลย ทั้งเป็นตัวเลขที่แสดงให้เห็นว่าการทำให้ปลอดเชื้อกับน้ำกอกขและสำลีโดยใช้รังสี ต้องใช้ปริมาณรังสีไม่ต่ำกว่า 1.6 Mrad ในบรรยากาศเมืองไทย

Thesis Title Gamma Sterilization of Medical Instruments
Name Flying-Officer Chairat Khoonprasert
Thesis Advisor Miss Usana Navanugraha
Department Nuclear Technology
Academic 1979

ABSTRACT

Medical instruments are the instruments, devices, and materials used in medical field such as syringes, transfusion sets, gauze, absorbent cotton wool etc. In this experiment, gauze and cotton wool were selected as samples. There were 280 samples of gauze and of cotton wool. Forty samples of each gauze and cotton wool were irradiated by a Cobalt-60 source at 0.8, 1.0, 1.2, 1.4, 1.6 and 2.5 Mrad, 40 samples of gauze and cotton wool were used as the pre-sterilization initial findings. Isolation and identification of microorganisms were reported as qualitative results while the number of microorganisms were reported as quantitative results. Tryptic Soy Agar (Difco) was used as the plating medium.

For gauze samples, maximum total initial count (aerobic + anaerobic + mould) was found to be 66 colonies per sample with the majority of germs distributed between 61 and 65 colonies. Total initial count average was 56.1 colonies per sample. For

cotton wool, maximum total initial count was found to be 63 colonies per sample with the majority of germs distributed between 46 and 50 colonies. Total initial count average was 50.7 colonies per sample

In the irradiated samples, it was found that at 0.8 Mrad, the average colony count on gauze was decreased. At higher doses, there are trends that the number of survivors were consecutively decreased. No survivors were found at doses fo 1.6 and 2.5 Mrad. It might be concluded that the sterilizing dose for gauze and cotton wool samples, should not be less than 1.6 Mrad.



กิติกรรมประกาศ

วิทยานิพนธ์เรื่อง "การทำลายเชื้อบนเครื่องมือแพทย์ควริงสีแกมมา" นี้สำเร็จเป็นรูปเล่มโดยอาศัยความร่วมมือจากบุคคลหลายท่าน ผู้เขียนขอกราบขอบพระคุณ ศาสตราจารย์ ดร. สุวรรณ แสงเพชร ประธานกรรมการสอบวิทยานิพนธ์ อาจารย์ อุษา นาวานเคราะห์ อาจารย์ที่ปรึกษาและควบคุมการวิจัย ซึ่งได้กรุณาให้คำปรึกษาแนะนำตั้งแต่เริ่มแรก จนกระทั่งวิทยานิพนธ์ฉบับนี้สำเร็จจุลวงตามวัตถุประสงค์ และรองศาสตราจารย์ น.พ. สุวิทย์ อารีกุล หัวหน้าภาควิชารังสีไอโซโทป คณะเวชศาสตร์เขตร้อน มหาวิทยาลัยมหิดล ได้สละเวลามารวมเป็นกรรมการสอบวิทยานิพนธ์ฉบับนี้ด้วย

อนึ่งคำนำช่วยความสะดวกในการใช้ตัวอย่างฝากขอและสำลีในการทดลองวิจัยทำวิทยานิพนธ์นี้ ผู้เขียนได้รับความอนุเคราะห์จาก คุณสมชัย สุวพันธุ์ หัวหน้าแผนกยานีต องค์การเภสัชกรรม กับ คุณกำจร พลางกูร เจ้าหน้าที่องค์การเภสัชกรรม ได้ให้ตัวอย่างและข้อมูลบางอย่าง เกี่ยวกับการทำลายเชื้อและวิธีการผลิตฝากขอและสำลีขององค์การเภสัชกรรม ซึ่งเป็นประโยชน์อย่างมากในการเขียนวิทยานิพนธ์ฉบับนี้ ผู้เขียนขอขอบพระคุณเป็นอย่างสูง พร้อมทั้งเจ้าหน้าที่ห้องปฏิบัติการ แผนกสุขาภิบาล กองเวชศาสตร์ป้องกัน กรมแพทยทหารอากาศ ที่ได้ช่วยให้ความสะดวกและปฏิบัติการบางอย่าง จนการทดลองวิจัยสำเร็จจุลวงไปด้วยดี ผู้เขียนใคร่ขอขอบพระคุณมา ณ โอกาสนี้ด้วย

ร.ท. ชัยรัตน์ คุณประเสริฐ

| | |
|--|----|
| บทคัดย่อภาษาไทย | |
| บทคัดย่อภาษาอังกฤษ | |
| กิจกรรมประกาศ | |
| รายการตารางประกอบ | |
| บทที่ 1 บทนำ | 1 |
| 1 ความเป็นมาของปัญหา | 1 |
| 2 สาเหตุของการเลือกตัวอย่าง | 4 |
| 3 สาเหตุของการเลือกใช้รังสีแกมมาจากกัมมันตภาพรังสี โคบอลต์ 60 | 4 |
| 4 จุดประสงค์ในการทดลอง | 7 |
| 5 ประโยชน์ที่จะได้รับ | 9 |
| 6 การทดลองโดยย่อ | 10 |
| 7 การเสนอเรื่อง | 13 |
| บทที่ 2 ทฤษฎีการทำให้ปลอดเชื้อ | 15 |
| 1 วิธีทำให้ปลอดเชื้อโดยไทม์มอโนิ่ง | 15 |
| 2 วิธีทำให้ปลอดเชื้อโดยใช้แกส | 17 |
| 3 วิธีทำให้ปลอดเชื้อโดยใช้รังสี | 20 |
| บทที่ 3 ผลของรังสีต่อเชื้อและสารที่ใช้ทำเครื่องมือแพทย์ | 25 |
| 1 ผลของรังสีต่อเซลล์ของจุลินทรีย์ | 25 |
| 2 ความต้านทานของเชื้อต่อรังสี | 27 |
| 3 ปริมาณรังสีที่ใช้ในกิจการต่าง ๆ บางอย่างสำหรับควบคุมจำนวน ของจุลินทรีย์ | 29 |
| 4 ความต้านทานต่อรังสีของเชื้อรา | 31 |



| | หน้า |
|--|------|
| 5 ความต้านทานรังสีของไวรัส | 31 |
| 6 ผลของรังสีต่อพลาสติก | 32 |
| 7 ผลของรังสีต่อสารพวกเซลลูโลส | 34 |
| บทที่ 4 การทดลอง | 35 |
| 1 การเก็บตัวอย่าง | 35 |
| 2 เครื่องมือในการทดลอง | 35 |
| 3 การอาบรังสี | 36 |
| 4 การเพาะเลี้ยงเชื้อ | 36 |
| 5 การแยกเชื้อ | 41 |
| 6 การทดสอบเชื้อ | 42 |
| บทที่ 5 ผลการทดลองและวิจารณ์ผลจากตัวอย่างผักกอกช | 44 |
| 1 ผลจำนวนเชื้อบนผักกอกช | 44 |
| 2 ผลชนิดของเชื้อบนผักกอกช | 51 |
| 3 สรุปผล | 62 |
| 4 ข้อเสนอแนะ | 65 |
| บทที่ 6 ผลการทดลองและวิจารณ์ผลจากตัวอย่างสำลี | 83 |
| 1 ผลจำนวนเชื้อบนสำลี | 83 |
| 2 ผลชนิดของเชื้อบนสำลี | 90 |
| 3 สรุปผล | 101 |
| 4 ข้อเสนอแนะ | 103 |
| บทที่ 7 เปรียบเทียบข้อดีข้อเสียระหว่างการทำลายเชื้อด้วยหมอนึ่ง แกส และรังสี | 121 |
| 1 กล่าวโดยทั่วไป | 121 |
| 2 ข้อดีข้อเสียระหว่างหมอนึ่ง แกส และรังสี | 124 |
| บรรณานุกรม | 127 |
| ประวัติผู้เขียน | 130 |

รายการตารางประกอบ

หน้า

| | |
|---|----|
| 1 ตารางแสดงการติดตั้งโรงงาน สำหรับการทำลายเชื้อมนเครื่องมือแพทย์ด้วยรังสีแกมมาจากโคบอลต์ 60 ของแต่ละประเทศ | 5 |
| 2 ตารางมาตรฐานของปริมาณแกสเอซิลีนออกไซด์ที่ยอมให้มีในอากาศ | 18 |
| 3 ตารางปริมาณรังสีที่ใช้ในกิจการต่าง ๆ บางอย่างสำหรับควบคุมจำนวนจุลินทรีย์ | 29 |
| 4 ตารางที่ 1 จำนวนเชื้อเริ่มต้นที่พบบนผักกอกช | 66 |
| 5 ตารางที่ 2 จำนวนเชื้อที่พบบนผักกอกชหลังจากอาบรังสี 0.8 Mrad | 67 |
| 6 ตารางที่ 3 จำนวนเชื้อที่พบบนผักกอกชหลังจากอาบรังสี 1.0 Mrad | 68 |
| 7 ตารางที่ 4 จำนวนเชื้อที่พบบนผักกอกชหลังจากอาบรังสี 1.2 Mrad | 69 |
| 8 ตารางที่ 5 จำนวนเชื้อที่พบบนผักกอกชหลังจากอาบรังสี 1.4 Mrad | 70 |
| 9 ตารางที่ 6 การกระจายของจำนวนเชื้อมนผักกอกชที่ยังไม่ได้อาบรังสี | 71 |
| 10 ตารางที่ 7 การกระจายของจำนวนเชื้อมนผักกอกชหลังจากอาบรังสีแล้ว 0.8 Mrad | 72 |
| 11 ตารางที่ 8 การกระจายของจำนวนเชื้อมนผักกอกชหลังจากอาบรังสีแล้ว 1.0 Mrad | 73 |
| 12 ตารางที่ 9 การกระจายของจำนวนเชื้อมนผักกอกชหลังจากอาบรังสีแล้ว 1.2 Mrad | 74 |
| 13 ตารางที่ 10 การกระจายของจำนวนเชื้อมนผักกอกชหลังจากอาบรังสีแล้ว 1.4 Mrad | 75 |
| 14 ตารางที่ 11 ตารางเปรียบเทียบเพื่อแสดงว่าจำนวนเชื้อถูกทำลายและลดลง ทั้งกระจายความหนาแน่นของเชื้อตามปริมาณรังสีที่ใช้ | 76 |
| 15 ตารางที่ 12 ตารางการทดสอบวิธีต่าง ๆ | 77 |
| 16 ตารางที่ 13 จำนวนเชื้อที่ recover ใ้หลังจากอาบรังสีแล้ว 0.8, 1.0, 1.2, 1.4, 1.6 และ 2.5 Mrad | 78 |

| | | | |
|----|-------------|---|-----|
| 17 | ตารางที่ 14 | เปอร์เซ็นต์ของการทำลายเชื้อแยกตามเชื้อที่พบบนผิวากอช 40 ตัวอย่าง หลังจากอามรังสีขนาดต่าง ๆ แล้ว | 79 |
| 18 | ตารางที่ 15 | เปอร์เซ็นต์ของจำนวนเชื้อแยกตาม Gram's reaction ที่พบบนผิวากอช | 80 |
| 19 | ตารางที่ 16 | การทำลายเชื้อบนตัวอย่างผิวากอชตามปริมาณรังสี 0, 0.8, 1.0, 1.2, 1.4, 1.6 และ 2.5 Mrad | 81 |
| 20 | รูปที่ 1 | กราฟแสดงการทำลายเชื้อบนตัวอย่างผิวากอชตามปริมาณรังสี 0, 0.8, 1.0, 1.2, 1.4, 1.6 และ 2.5 Mrad | 82 |
| 21 | ตารางที่ 17 | จำนวนเชื้อเริ่มต้นที่พบบนสำลี | 104 |
| 22 | ตารางที่ 18 | จำนวนเชื้อที่พบบนสำลีหลังจากอามรังสี 0.8 Mrad | 105 |
| 23 | ตารางที่ 19 | จำนวนเชื้อที่พบบนสำลีหลังจากอามรังสี 1.0 Mrad | 106 |
| 24 | ตารางที่ 20 | จำนวนเชื้อที่พบบนสำลีหลังจากอามรังสี 1.2 Mrad | 107 |
| 25 | ตารางที่ 21 | จำนวนเชื้อที่พบบนสำลีหลังจากอามรังสี 1.4 Mrad | 108 |
| 26 | ตารางที่ 22 | การกระจายของจำนวนเชื้อบนสำลีที่ยังไม่ได้อามรังสี | 109 |
| 27 | ตารางที่ 23 | การกระจายของจำนวนเชื้อบนสำลีหลังจากอามรังสี 0.8 Mrad | 110 |
| 28 | ตารางที่ 24 | การกระจายของจำนวนเชื้อบนสำลีหลังจากอามรังสี 1.0 Mrad | 111 |
| 29 | ตารางที่ 25 | การกระจายของจำนวนเชื้อบนสำลีหลังจากอามรังสี 1.2 Mrad | 112 |
| 30 | ตารางที่ 26 | การกระจายของจำนวนเชื้อบนสำลีหลังจากอามรังสี 1.4 Mrad | 113 |
| 31 | ตารางที่ 27 | ตารางเปรียบเทียบเพื่อแสดงว่าจำนวนเชื้อถูกทำลายและลดลง ทั้งกระจายความหนาแน่นของเชื้อตามปริมาณรังสีที่ใช้ | 114 |
| 32 | ตารางที่ 28 | ตารางการทดสอบวิธีต่าง ๆ | 115 |
| 33 | ตารางที่ 29 | จำนวนเชื้อที่ recover ใ้หลังจากอามรังสีแล้ว 0.8, 1.0, 1.2, 1.4, 1.6 และ 2.5 Mrad | 116 |
| 34 | ตารางที่ 30 | เปอร์เซ็นต์การทำลายเชื้อแยกตามเชื้อที่พบบนสำลี 40 ตัวอย่าง หลังจากอามรังสีขนาดต่าง ๆ แล้ว | 117 |

| | | |
|----------------|---|-----|
| 35 ตารางที่ 31 | เปอร์เซ็นต์ของจำนวนเชื้อที่พบบนสำลีแยกตาม Gram's reaction กระจายตามปริมาณรังสีที่อ้อมต่อจำนวนเชื้อทั้งหมด | 118 |
| 36 ตารางที่ 32 | การทำลายเชื้อบนตัวอย่างสำลีตามปริมาณรังสี 0, 0.8, 1.0, 1.2, 1.4, 1.6 และ 2.5 Mrad | 119 |
| 37 รูปที่ 2 | กราฟแสดงการทำลายเชื้อบนตัวอย่างสำลีตามปริมาณรังสี 0, 0.8, 1.0, 1.2, 1.4, 1.6 และ 2.5 Mrad | 120 |